厚さの異なる敷砂緩衝材の緩衝特性に関する重錘落下衝撃実験

Impact loading tests on sand cushion with various sand thicknesss

 寒地土木研究所
 ○ 正会員
 今野
 久志 (Hisashi Konno)

 寒地土木研究所
 正会員
 山口
 悟 (Satoru Yamaguchi)

 室蘭工業大学大学院
 フェロー 岸
 徳光 (Norimitsu Kishi)

 室蘭工業大学大学院
 正会員
 栗橋
 祐介 (Yusuke Kurihashi)

1. はじめに

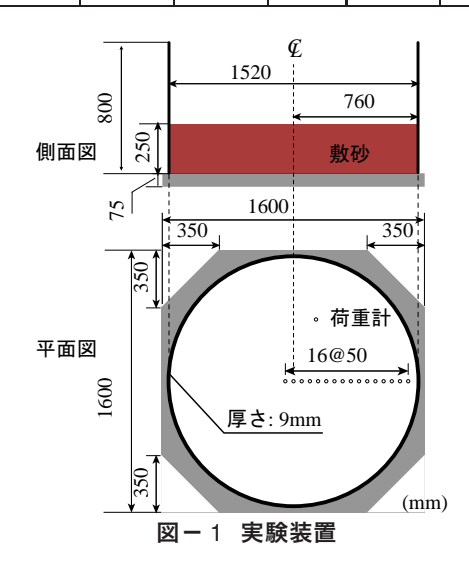
近年、様々な構造物の設計法が性能照査型設計法に移行 してきており、現在、許容応力度法で設計が行われている ロックシェッド等の落石防護構造物に対してもより合理的 な設計を可能とする性能照査型耐衝撃設計法の確立が望ま れている。筆者らもロックシェッド等の耐衝撃用途構造物 の性能照査型設計法を確立するための取り組みとして、鉄 筋コンクリート (RC) 梁、RC スラブ、ロックシェッド模 型等を用いた衝撃載荷実験を実施し終局に至るまでの耐衝 撃挙動の把握を行ってきた¹⁾。また、これらの実験を対象 とした三次元弾塑性衝撃応答解析を実施し、終局に至るま での耐衝撃挙動を適切にシミュレート可能な数値解析手法 について検討を行ってきている。その結果、直接衝撃荷重 が作用する場合の RC 構造物の耐衝撃挙動を単一あるいは 繰り返し等の載荷条件にかかわらず非常に精度よくシミュ レートできることを可能としている²⁾。一方、敷砂等の緩 衝材を介して衝撃力が作用する場合については、終局に至 るまでの耐衝撃挙動を未だ十分な精度でシミュレートでき

表-1 実験ケース一覧

実験 ケース名	落下高さ h (m)	
S12.5-h	0.25~1.25 (0.25 刻み)	
S25-h	0.25~1.75 (0.25 刻み)	

表-2 緩衝材砂の物性値

	産地	種類	粗粒率	表乾 密度 (kg/l)	吸水率 (%)	微粒 分量 (%)
ľ	知律狩	細目砂	1.32	2.56	3.27	1.09



る状況に至っていないのが現状である。数値解析の精度向上のためには敷砂緩衝材の材料構成則モデル構築に関する詳細な検討が必要であるものと考えられる。

このような背景より、本研究では敷砂緩衝材の数値解析 用材料構成則モデル構築のための基礎資料収集を目的とし て、敷砂緩衝材の締固め度や敷砂厚、重錘重量等をパラメー タとした重錘落下衝撃実験を実施している。本論文では敷 砂緩衝材の厚さを変化させた場合の衝撃実験結果について 報告する。

2. 実験概要

図-1には、実験装置の概要を示している。本実験装置 は、衝撃応力計測用の起歪柱型ロードセル(受圧面の直径 20 mm、容量 7 MPa) (以後、荷重計と記述する。) が設置 された鋼製底盤と敷砂緩衝材を設置するための鋼製円筒お よび鋼製底盤を支持する9個の反力計測用の起歪柱型ロー ドセル (受圧面の直径 87 mm、容量 100 kN) から構成され ている。荷重計は、図のように底盤中央部より非対称に50 mm 間隔で 16 個設置されており、その受圧面は底盤上面と 面一となっている。写真-1には重錘落下衝撃実験の状況 を示している。衝撃実験は、所定の厚さに成形した敷砂緩 衝材に対して、質量 400 kg で先端部の直径が 230 mm の平 底鋼製重錘を所定の高さから円筒中央部に落下させること により行っている。表-1には衝撃実験ケースの一覧を示 している。実験では、敷砂厚を重錘直径と同程度の 25 cm とその1/2の12.5 cmの2種類とし、落下高さについては $h = 0.25 \, \text{m}$ から $0.25 \, \text{m}$ ピッチで漸増させ荷重計の容量を超 過しない範囲で実施している。このため敷砂厚 12.5 cm の 場合には最終落下高さが 1.25 m, 敷砂厚 25 cm では 1.75 m となっている。表中の実験ケース名はSの後ろに敷砂厚を、 ハイフンの後ろに落下高さを付して示している。なお、敷



写真-1 実験状況 (S25 - h 0.25)

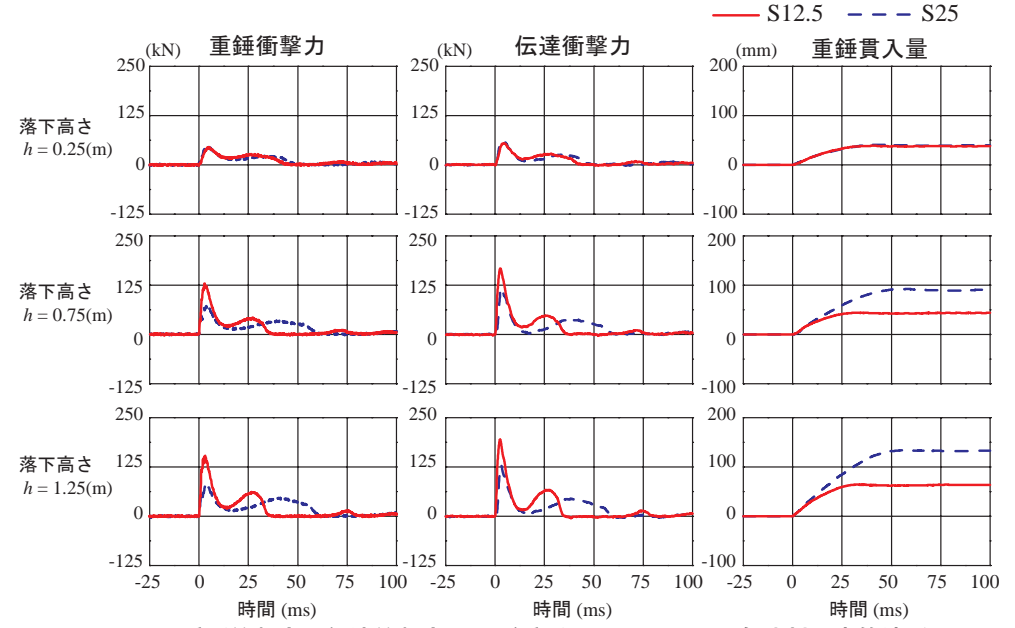


図 - 3 重錘衝撃力、伝達衝撃力および重錘貫入量に関する各時刻歴応答波形

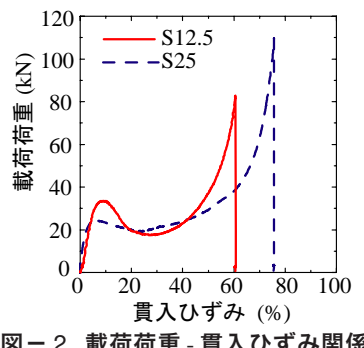


図-2 載荷荷重-貫入ひずみ関係

砂緩衝材は、厚さ 12.5 cm 毎に足踏みおよび振動締固め機を 使用して締固め、所定の厚さに成形している。また、敷砂 緩衝材は実験ケース毎に再成形を行っており、成形後に直 径 75 mm の鋼製円筒を貫入させてサンプリングを行い湿潤 密度、含水比を計測している。実験時の湿潤密度、含水比 は平均で厚さ 12.5 cm の場合が 1.59 g/cm³ および 8.6 %、厚 さ 25 cm の場合が 1.58 g/cm³ および 8.9 %であった。 **表-2** には、実験に使用した知律狩産(北海道石狩市)細目砂の 物性値一覧を示している。衝撃実験における計測項目は、 重錘一体型の起歪柱型ロードセルによる重錘衝撃力、荷重 計による伝達衝撃応力、レーザ式変位計による重錘貫入量 である。また、2種類の敷砂厚に対して静載荷実験を実施 している。静載荷実験は、油圧載荷装置の先端に衝撃実験 で使用した重錘を取り付けて行った。計測項目は載荷荷重 および荷重計による底盤上への作用応力および重錘貫入量 である。

3. 静載荷実験結果

図-2には、静載荷実験における載荷荷重と貫入ひずみ (貫入量/敷砂厚)の関係を示している。実験は、衝撃載 荷実験と同様に鋼製底盤に設置した荷重計の計測容量を超 過しない範囲で実施している。敷砂厚 12.5 cm の場合には、 貫入ひずみ数 %、載荷荷重 30 kN 程度まで弾性的に立ち上 がり、ピーク値を示した後、一旦載荷荷重が低下し、その 後載荷荷重が徐々に増加し、貫入ひずみ40%程度から2 次放物線的に急激な増加傾向を示している。一方、敷砂厚 25cm の場合についてみると、貫入ひずみ数 %、載荷荷重 20 kN 程度まで弾性的挙動を示し、貫入ひずみ 20 % 程度ま で徐々に荷重が低下し、その後荷重が再び増加し始め貫入 ひずみ60%程度から2次放物線的に急激な増加傾向を示 している。

4. 衝擊荷重載荷実験結果

4.1 時刻歴応答波形

図-3には、重錘衝撃力、伝達衝撃力および重錘貫入量 に関する時刻歴応答波形を示している。ここでは、重錘衝 突時の時刻を0とし、重錘落下高さh=0.25、0.75、1.25 m の場合について示している。なお、伝達衝撃力は、図-1 に示した各荷重計から得られる伝達衝撃応力が重錘衝突位 置に関して軸対称に分布するものと仮定し、台形則を用い て集積評価することにより求めている。図より、重錘衝撃 力および伝達衝撃力は、ほぼ類似の波形性状を示している ことが分かる。すなわち、重錘衝突初期に急激に立ち上が りピーク値を迎える三角形状の第1波とその後に続くピー ク値近傍が滑らかな正弦半波状の第2波から構成されてい る。いずれの実験ケースにおいても、第1波および第2波 のピーク値(以後、それぞれを第1ピーク値、第2ピーク値 と呼ぶ)は、落下高さ h の増加とともに増大している。同 一の落下高さにおいて比較すると、敷砂厚の薄い S 12.5 の 実験ケースの方が第1、2ピーク値とも大きく、波形継続時 間は短くなる傾向が示されている。重錘貫入量は、重錘衝 突後ほぼ線形に増加し、ピーク値に達した後、若干押し戻 されるような傾向を示してから一定値となっている。落下 高さ h = 0.25 m では両者の重錘貫入量応答波形はほぼ同様 な性状を示しているが、落下高さの増加とともに最大貫入 量および最大貫入量到達までの時間に差が見られる。

4.2 重錘衝撃力および伝達衝撃力

図-4には、重錘衝撃力および伝達衝撃力に関する第1 ピーク値および第2ピーク値と入力エネルギーの関係を、 また各ピーク値について重錘衝撃力に対する伝達衝撃力の

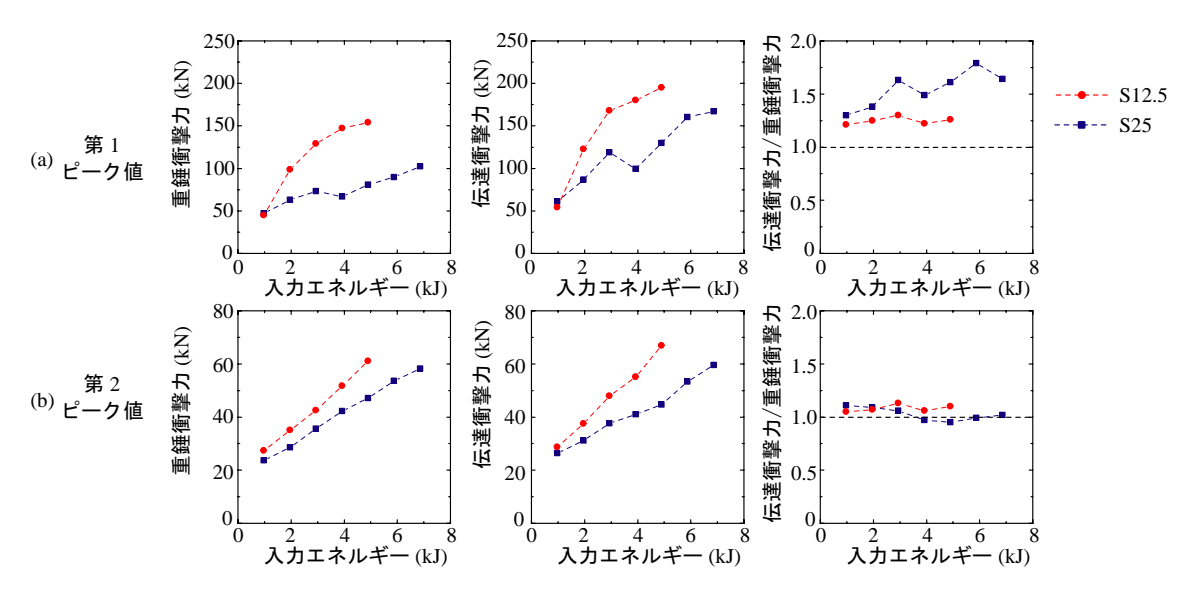


図-4 各衝撃力波形の第1および第2ピーク値と入力エネルギーとの関係

割合(以後、衝撃力比と呼ぶ)を示している。

(a) 図より、重錘衝撃力および伝達衝撃力の第 1 ピーク値は、実験ケース S 25 のデータに多少ばらつきが見られるものの、ともに入力エネルギーの増大に伴って増加する傾向にあることが分かる。また、敷砂厚が薄い S 12.5 の場合が、各衝撃力の第 1 ピーク値は大きい。衝撃力比は、 S 25 の場合で $1.25 \sim 1.75$ 、 S 12.5 の場合には $1.22 \sim 1.26$ の範囲に分布し、敷砂厚の減少とともに小さくなる傾向が示されている。また、伝達衝撃力はいずれの実験ケースにおいても重錘衝撃力よりも大きな値を示しており、既往の研究結果 3 と同様の傾向が示されている。これは、第 1 ピーク値が重錘貫入直後に発生していることから、伝達衝撃力の第 1 ピーク値には、重錘衝突に伴って伝播する応力波の影響が含まれているためと推察される。

(b) 図より、重錘衝撃力と伝達衝撃力の第2ピーク値は、入力エネルギーの増大に伴ってほぼ線形に増加する傾向が示されている。同一の入力エネルギーに対しては、いずれの衝撃力もS12.5の場合が大きくなっている。また、入力エネルギーに対する各衝撃力の増加割合はS12.5が大きくなる傾向が示されている。衝撃力比は、敷砂厚によらずほぼ1.0 近傍の値を示しており、また第2ピーク値発生時間と重錘の最大貫入時間が近似していることから、第2ピーク値の場合には、第1ピーク値の場合と異なり重錘衝突に伴って伝播する応力波の影響は小さいものと推察される。

図-5には、重錘の貫入ひずみ(貫入量/敷砂厚)と入力エネルギーの関係を示している。貫入ひずみは、S12.5の初回の実験ケースを除き入力エネルギーの増大に対応して増加する傾向を示すとともに、同一の入力エネルギーに対しては敷砂厚によらずほぼ同程度の貫入ひずみを示している。

4.3 伝達衝撃力と重錘貫入ひずみとの関係

図-6には、落下高さ h = 1.25 m における伝達衝撃力-重錘貫入ひずみ関係を示している。また、図中には静載荷 実験において底盤の荷重計で計測された作用荷重と貫入ひ ずみの関係を縦軸を作用荷重として示している。図より、 伝達衝撃力の第2ピーク値はいずれの敷砂厚においても重 錘の最大貫入ひずみ近傍で発生しており、また静載荷実験

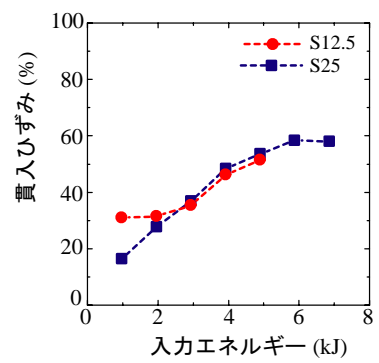


図-5 貫入ひずみと入力エネルギーとの関係

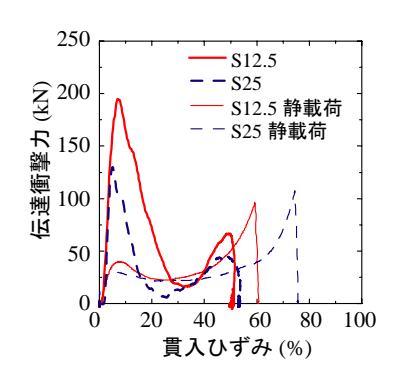


図-6 伝達衝撃力-重錘貫入ひずみ関係

における作用荷重 - 貫入ひずみ関係と類似の性状を示していることから、重錘の貫入に伴って砂が圧密されることによって発生する荷重であるものと推察される。一方、第1ピーク値の伝達衝撃力は重錘衝突初期の貫入ひずみの小さい領域で発生しており、また静載荷時の同一貫入ひずみにおける作用荷重に比較して非常に大きな値となっていることから、重錘衝突に伴って伝播する応力波が大きく影響しているものと推察される。

4.4 各吸収エネルギーと入力エネルギーとの関係

図-7には、各実験ケースに関する敷砂の吸収エネルギーと入力エネルギーとの関係を示している。ここで、吸収エネルギーは、伝達衝撃力-重錘貫入量関係の履歴ループ内の面積として評価し、重錘衝撃力-重錘貫入量関係より求めたものを吸収エネルギー1、伝達衝撃力-重錘貫入量関

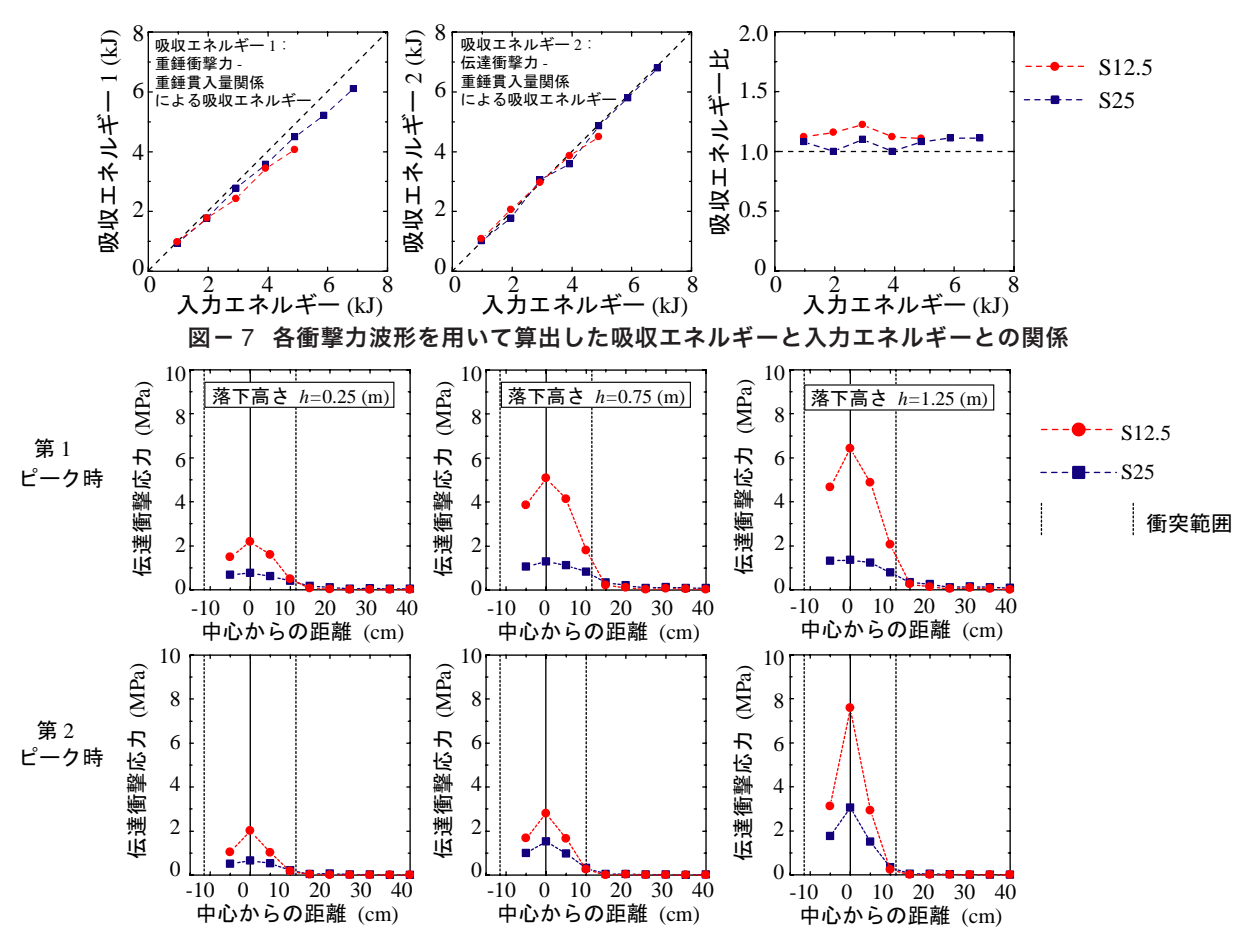


図-8 伝達衝撃力波形の第1、第2ピーク値発生時の伝達衝撃応力分布図

係より求めたものを吸収エネルギー2と呼ぶこととする。なお、吸収エネルギー1に対する吸収エネルギー2の比を吸収エネルギー比と呼ぶこととする。図より、入力エネルギーの増加に伴って、両吸収エネルギーはほぼ線形に増加していることが分かる。敷砂厚の違いによる影響は極めて小さく、また吸収エネルギーおよび入力エネルギーの値は、ほぼ対応している。このことより、敷砂厚によらず、ほぼ全ての入力エネルギーが吸収エネルギーに置換されており、重錘衝突から貫入、停止までの反力として伝達衝撃力が底盤に作用しているものと考えられる。

4.5 伝達衝撃応力の分布性状

図-8には、落下高さh=0.25、0.75、1.25 mの実験ケースに関する鋼製底盤に作用する伝達衝撃応力分布を伝達衝撃力の第1 ピーク値および第2 ピーク値発生時において示している。伝達衝撃応力は、いずれの実験ケースにおいても第1、2 ピーク時ともに重錘落下点直下を最大値とする釣り鐘状の分布性状を示している。また、載荷点直下の伝達衝撃応力値はいずれのケースもS 12.5 の場合が大きい。さらに、h=1.25 mでは、S 12.5 、S 25 ともに第2 ピーク時の伝達衝撃応力が第1 ピーク時のそれよりも大きくなっており、伝達衝撃力とは逆の結果を示している。これは、第2 ピーク時には重錘が他の実験ケースよりも深く貫入し荷重の分散範囲が狭くなったことによるものと推察される。

5. **まとめ**

本研究では、敷砂緩衝材の数値解析用材料構成則モデル 構築のための基礎的資料集を目的に敷砂の耐衝撃挙動に及 ぼす敷砂厚の影響に関して、重錘径と同程度の厚さと、その1/2の敷砂厚に対する衝撃荷重載荷実験および静載荷実験を実施した。

- 1) 重錘衝撃力および伝達衝撃力は、ほぼ類似の波形性状 を示しており、衝撃荷重載荷初期に急激に立ち上がる 三角形状の第1波とそれに後続する正弦半波状の第2 波から構成される。
- 2) 重錘貫入量は、重錘衝突後ほぼ線形に増加し、ピーク 値に達した後、若干押し戻されるような傾向を示した 後、一定値となる。
- 3) 伝達衝撃力は重錘衝撃力よりも大きな値を示し、敷砂 厚が薄くなるに従ってその差が小さくなる傾向が示さ れた。これは、伝達衝撃力の第1ピーク値には、重錘 衝突に伴って伝播する応力波の影響が含まれているた めと推察される。

参考文献

- 1) 山口 悟, 岸 徳光, 今野久志, 西 弘明: 敷砂緩衝材 を有する RC 製ロックシェッド模型に関する衝撃載荷 実験, 構造工学論文集, Vol.56A, pp.1149-1159, 2010.3
- 2) 岸 徳光, 今野久志, 三上 浩:RC梁の繰り返し重錘 落下衝撃挙動に関する数値シミュレーション, 構造工 学論文集, Vol.55A, pp.1225-1237, 2009.3
- 3) 土木学会:構造工学シリーズ8ロックシェッドの耐衝 撃設計, 平成10年11月